

ЛИТЕРАТУРА

1. Христианович С. А., Шемякин Е. П. О плоской деформации пластического материала при сложном нагружении. — «Изв. АН СССР. МТТ», 1969, № 9.
2. Naghdi P. M., Rowley I. C. An experimental study of biaxial stress-strain relations in plasticity. — «J. Mech. Phys. Solids», 1954, vol. 3.
3. Христианович С. А., Шемякин Е. П. К теории идеальной пластичности. — «Инж. журнал. МТТ», 1967, № 4.
4. Христианович С. А. Деформация упрочняющегося пластического материала. — «Изв. АН СССР. МТТ», 1974, № 2.

УДК 539.374

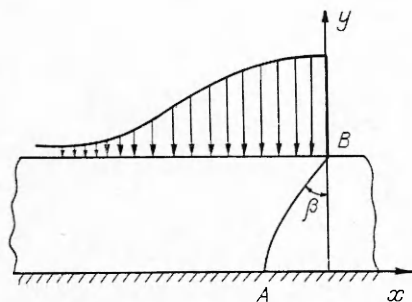
ПОДВИЖНАЯ НАГРУЗКА НА СЛОЕ ИДЕАЛЬНО УПЛОТНЯЮЩЕГОСЯ МАТЕРИАЛА

И. В. Симонов

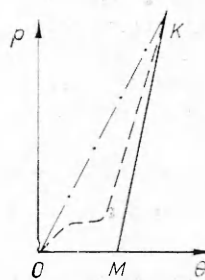
(Москва)

1. **Физические допущения.** По внешней поверхности слоя материала постоянной толщины h , лежащего без трения на жестком основании, движется с постоянной скоростью U_0 плоская нагрузка, форма и величина которой со временем не меняется. В системе координат (x, y) (фиг. 1), связанной с движущейся нагрузкой $P_0(x)$ ($P_0(x) = 0, x > 0, P_0(0) = P_{00}$), будем изучать плоское стационарное движение среды при условии существования ударной волны $U_0 > D_0$, где D_0 — волновая скорость, соответствующая давлению P_{00} . Перед фронтом среда невозмущена: $P = 0, U = 0, \rho = \rho_0$ (P — давление, U — вектор массовой скорости в неподвижной системе координат, ρ, ρ_0 — текущая и начальная плотность).

Материал подчиняется баротропному уравнению состояния. Его $P - \theta$ -характеристика показана на фиг. 2 (сплошная линия). Уравнение прямой $KM: dP/d\rho = c^2 = \text{const}$ при условии $P(\theta_0) = P_{00}$ ($\theta = (\rho - \rho_0)/\rho_0$ — объемная деформация). Такая схема является идеализацией реального поведения материалов, содержащих пустоты или поры, заполненные легкосжимаемой средой (штриховая линия на фиг. 2). Начальным нелинейным участком нагружения иногда можно пренебречь в случаях, когда характерное давление выше давления, при котором поры практически захлопываются и дальнейшее приращение деформации происходит



Фиг. 1



Фиг. 2

за счет деформации матрицы (например, когда материал испытывает ударное нагружение значительной интенсивности). Для мягких металлов — это область от десятков до нескольких сотен килобар. При этом объемные деформации матрицы еще могут оставаться малыми. Для многих материалов пористость при разгрузке не восстанавливается и возможно допущение о том, что и при разгрузке деформирование протекает линейно-упруго. Поскольку уровень касательных напряжений (определяемый срелаксированной амплитудой упругого предвестника или пределом текучести) значительно ниже давления полной упаковки, сопротивлением сдвигу пренебрегается.

В зависимости от соотношения между U_0 и c будем иметь качественно различные режимы отражения косой ударной волны от жесткой стенки. При $U_0 > c$ возникает картина регулярного отражения с последовательностью чередующихся отраженных от внешней поверхности и жесткой стенки волн нагрузки и разгрузки. При этом в материале могут образовываться зоны с отрицательными давлениями.

В данной работе ограничимся исследованием режима $D_0 < U_0 < c$. В этом случае поверхности разрывов, аналогичные отраженным волнам, существовать не будут. Возмущения подобного типа, если они и существовали в качестве начального условия, догоняют передний фронт и в стационарном режиме отсутствуют. Математически это объясняется тем, что уравнения в возмущенной области становятся эллиптическими.

Переходный режим $U_0 \approx c$ исключим из рассмотрения. При $U_0 \rightarrow c - 0$ фронты отраженных волн становятся вертикальными, а их интенсивность стремится к бесконечности, если проводить расчеты в рамках принятой схемы. Для ликвидации этой особенности требуется учет нелинейных свойств материала и конвективных членов в уравнениях движения аналогично теории коротких волн.

Важным является вопрос о реальной величине интервала (D_0, c). Для сплошных материалов и слабых ударных волн эти величины близки друг к другу. Качественно величина D_0 определяется наклоном прямой OK (фиг. 2), а скорость звука — наклоном KM , и поэтому даже в случае слабо пористых тел они могут существенно различаться по величине. Например, при начальной пористости железа 0,26 и давлениях ≈ 40 —45 кбар на фронте ударной волны (пористость практически обращается в нуль) $D \approx 1,65$ —1,8 км/с, а скорость звука в уплотненном порошке железа равна 4,6 км/с [1] (данные для меньших значений пористости, к сожалению, отсутствуют).

Отметим, что для нестационарного и нерегулярного (маховского) отражения ударных волн характерно существование трех ударных волн, исходящих из одной точки («тришок»). В изучаемом процессе имеется только одна ударная волна: отраженная волна как бы вышла за пределы области.

2. Математическая постановка. В плоскости $x = (x, y)$ рассмотрим область Ω , ограниченную прямыми $y = 0, h$ и неизвестной гладкой линией $x = s(y), y \in [0, h]$. Искомые функции $P(x), U(x) = (U, V), \rho(x)$ в области Ω должны удовлетворять уравнениям установившегося движения и неразрывности и определяющему соотношению

$$\begin{aligned} \rho(U - U_0)\nabla U &= \nabla P \quad (U_0 = (U_0, 0)), \\ \rho \operatorname{div} U &= (U_0 - U)\nabla \rho, \quad dP/d\rho = c^2 \quad (P(\theta_0) = P_{00}). \end{aligned}$$

Граничные условия, которые соответствуют физическим условиям на внешней поверхности слоя, жесткой стенке и следуют из законов сохра-

нения на фронте, имеют вид

$$\begin{aligned} P &= P_0(x) \quad (P_0(x) \rightarrow P_1 < \infty, x \rightarrow \infty) \text{ при } y = h, \\ V &= 0 \quad \text{при } y = 0, \\ P &= \rho_0 |U|^2 / \theta, \quad U = \theta U_0 (1 + s'^2)^{-1} (1, -s'), \\ dP/d\rho &= c^2 \quad (P(\theta_0) = P_{00}) \text{ при } x = s(y). \end{aligned}$$

Здесь при выводе второго условия на фронте было использовано кинематическое соотношение $\mathbf{D} = -U_0 \frac{\nabla F}{|\nabla F|^2} \frac{\partial F}{\partial x}$, где \mathbf{D} — волновая скорость; $F = x - s(y) \equiv 0$ — уравнение фронта в неявном виде; штрих означает дифференцирование по y . Неизвестная функция $s(y)$ должна удовлетворять крайевым условиям, следующим из выбора системы координат и из совместности граничных условий

$$s'(0) = 0, \quad s = 0, \quad s' = (\rho_0 \theta_0 U_0^2 / P_{00} - 1)^{1/2} \quad (y = h).$$

В результате перехода к безразмерным переменным

$$P = \rho_0 \theta_0 U_0^2 p, \quad \mathbf{U} = \theta_0 U_0 \mathbf{u}, \quad \mathbf{u} = (u, v), \quad \Delta = \theta / \theta_0$$

(x, s нормируем на h без изменения обозначений) и некоторых преобразований уравнения и условия задачи переписутся в форме

$$\begin{aligned} (2.1) \quad & (1 - \theta_0 u) u_x - \theta_0 v u_y = (1 - \theta) p_x, \\ & (1 - \theta_0 u) v_x - \theta_0 v v_y = (1 - \theta) p_y, \\ & u_x + v_y = (\kappa^2 - 1) [(\theta_0 u - 1) p_x + \theta_0 v p_y], \\ & d\Delta/dp = 1 - \kappa^2 \quad (p(1) = p_{00}, \quad \kappa^2 = 1 - U_0^2/c^2) \quad \mathbf{x} \in \Omega; \end{aligned}$$

$$(2.2) \quad p = p_0(x) \quad (p_0(x) \rightarrow p_1, x \rightarrow \infty) \text{ при } y = 1;$$

$$(2.3) \quad v = 0 \quad \text{при } y = 0;$$

$$\begin{aligned} (2.4) \quad & p = u = \Delta / (1 + s'^2) = p_*(y), \\ & v = -s' p_*, \quad d\Delta/dp = 1 - \kappa^2 \quad (p(1) = p_{00}) \text{ при } x = s(y), \\ & s'(0) = 0; \quad s = 0, \quad s' = \sqrt{p_{00}^{-1} - 1} = b \quad (y = 1). \end{aligned}$$

Здесь буквенный индекс внизу означает частное дифференцирование.

Ограничимся рассмотрением случая $\theta \ll 1$ (и пористость и деформации матрицы малы). Пренебрегая в уравнениях (2.1) малыми членами, приходим к системе уравнений вида

$$(2.5) \quad u_x = p_x, \quad v_x = p_y, \quad \kappa^2 p_x = -v_y.$$

Из первого уравнения (2.5) и первого условия (2.4) вытекает $u(\mathbf{x}) = p(\mathbf{x})$. Исключая \mathbf{u} из системы (2.5), получим уравнение

$$(2.6) \quad \kappa^2 p_{xx} + p_{yy} = 0.$$

Исключим u, v, Δ из граничных условий. Полагая $\Delta = 1 + \varepsilon$, уравнение состояния можно записать в форме

$$p = p_{00} + K\varepsilon \quad (K = (1 - \kappa^2)^{-1}).$$

Исключая ε из условий (2.4), получим

$$p = p_*(y) = \frac{K - p_{00}}{K(1 + s'^2) - 1}.$$

Продифференцируем это соотношение и условие $v = -s'p_*$ вдоль фронта по y

$$p_y + s'p_x = p_*', \quad v_y + s'v_x = -(s''p_* + s'p_*').$$

Добавим к ним уравнения из системы (2.5), которые в пределе справедливы и на фронте, и полученную систему разрешим относительно p_x, p_y, v_x и v_y . Тем самым задача (2.1)–(2.4) сводится к определению гармонической в области $\Omega_1^+(x_1, y) = \Omega(\kappa x_1, y) \left(x_1 = \frac{x}{\kappa}\right)$ функции $p(x)$ и функции $s(y)$ по условиям

$$(2.7) \quad p_y = 0 \quad (y = 0), \quad p = p_0(\kappa x_1) \quad (y = 1);$$

$$(2.8) \quad \frac{\partial p}{\partial x_1} = \frac{\kappa(s''p_* + 2s'p_*')}{s'^2 + \kappa^2}, \quad \frac{\partial p}{\partial y} = \frac{(\kappa^2 - s'^2)p_*' - s's''p_*}{s'^2 + \kappa^2} \quad (x = s(y)),$$

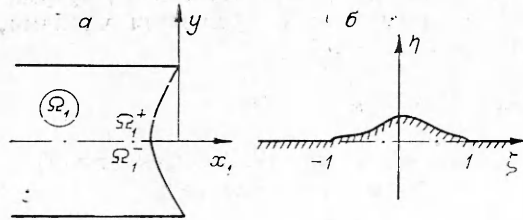
$$(p_*' = 2s's''p_*', \quad p_*' = dp_*/d(s'^2) = K(p_{00} - 1)[K(1 + s'^2) - 1]^{-2});$$

$$(2.9) \quad s'(0) = 0; \quad s = 0, \quad s' = b, \quad s'' = \frac{a(b^2 + \kappa^2)}{p_{00}(1 - 4b^2K)} \quad (y = 1).$$

Здесь $a = dp_0/dx|_{x=0}$, условие для $s''(1)$ следует из условия непрерывности $\partial p/\partial x_1$ в точке $x_1 = 0, y = 1$.

Таким образом, имеется по одному условию на известных и два условия на неизвестных частях границы области Ω_1^+ . Отметим, что если уравнение (2.6) асимптотически точное по θ , то условия (2.7), (2.8) являются точными.

3. Функциональное уравнение задачи. Введем в рассмотрение комплексную переменную $z = x_1 + iy$ и функцию $\Phi(z) = \partial p/\partial x_1 - i\partial p/\partial y$, аналитическую в $\Omega_1 = \Omega_1^+ \cup \Omega_1^-$, где Ω_1^- — область, симметричная области Ω_1^+ относительно оси x_1 (фиг. 3, а), и выполняется условие $\Phi(z) = \overline{\Phi(\bar{z})}$.



Ф и г. 3

На криволинейном участке границы действительная и мнимая части функции $\Phi(z)$ связаны с уравнением этой границы нелинейными дифференциальными соотношениями (2.8). При $y = \pm 1$ задана ее действительная часть: $\partial p/\partial x_1 = \kappa(dp_0/dx)_{x=\kappa x_1}$.

Запишем условие, необходимое и достаточное для того, чтобы комплексно-значная функция точек границы была про-

должима в глубь области. Одним из таких условий является обращение в нуль интеграла типа Коши в любой точке вне области [2]. Поскольку интеграл типа Коши — аналитическая функция, достаточным является об-

ращение его в нуль на какой-нибудь дуге, целиком лежащей вне Ω_1 , например на отрезке действительной оси $[X_1, X_2]$

$$I = \frac{1}{2\pi i} \int_L \frac{\bar{\Psi}_L \bar{a}z}{z - x_0} = 0, \quad X_1 \leq x_0 \leq X_2 \quad (X_1 > s(0)/\kappa),$$

где $L = L_1 \cup L_2$; $L_1 = \{x_1 < 0, y = +1\}$; $L_2 = \{x_1 = \kappa^{-1}s(y), -1 \leq y \leq 1\}$; Φ_L — граничное значение Φ .

Преобразуем интегралы по L_1 и L_2 , используя формулы Коши — Римана, (2.7) и свойства симметрии. Окончательно получим

$$\begin{aligned} I[x_2; s(y)] &= I_1 + I_2, \\ (3.1) \quad I_1 &= \int_{L_1} -\frac{1}{\pi} \int_{-\infty}^0 \frac{\kappa^2 dp_0/dx + (\partial p/\partial y)_{y=1}}{(x-x_2)^2 + \kappa^2} dx, \\ I_2 &= \int_{L_2} = \frac{1}{\pi} \int_0^1 \frac{s''(s-x_2)p_* + [(s-x_2)s' - \kappa^2 y] p_*'}{(s-x_2)^2 + \kappa^2 y} dy \\ &\quad (X_3 \leq x_2 \leq X_4, s(0) < X_3 < X_4). \end{aligned}$$

Уравнение (3.1) является основным функциональным уравнением задачи, служащим для определения $s(y)$. После того, как $s(y)$ найдена, поле производных p можно рассчитать при помощи интеграла Коши. Аналогичное условие было предложено использовать для приближенного решения линейных задач в [3] и реализовано в [4].

В интеграл I_1 входит граничное значение функции p_y на L_1 . Далее устанавливается связь между $p_y(x, 1)$ и $s(y)$. С этой целью совершим преобразование области Ω_1 . Функция $\zeta = \xi + i\eta = -i \operatorname{sh} \frac{\pi}{2} z$ переводит Ω_1 в верхнюю полуплоскость ζ с вырезанной «луночкой» (область Ω_2 на фиг. 3, б). При этом лучи $z = x_1 \pm i$ переходят в лучи $\zeta = \xi = \pm \operatorname{ch} \frac{\pi}{2} x_1$, а отрезок $\{x_1 = 0, -1 \leq y \leq 1\}$ в отрезок $\{-1 \leq \xi \leq 1, \eta = 0\}$.

На границе $\partial\Omega_2$ области Ω_2 справедливо интегральное соотношение

$$\Phi[z(\zeta_0)] = \frac{1}{\pi i} \int_{\partial\Omega_2} \frac{\Phi d\zeta}{\zeta - \zeta_0} \quad (\zeta_0 \in \partial\Omega_2).$$

Отсюда

$$(3.2) \quad \frac{\partial p}{\partial y} \Big|_{\zeta=\xi_0} = \frac{1}{\pi} \int_{\partial\Omega_2} \operatorname{Re} \frac{\Phi d\zeta}{\zeta - \xi_0} \quad (\xi_0 > 1).$$

В правую часть (3.2) p_y при $\xi_0 > 1$ и $\xi_0 < -1$ явно не входит, поэтому (3.2) решает задачу об определении $p_y(x, 1)$ по заданной $s(y)$.

Интеграл по $\partial\Omega_2$ разобьем на части

$$\int_{\partial\Omega_2} = J_1 + J_2, \quad J_1 = \int_{-\infty}^{-1} + \int_1^{\infty}, \quad J_2 = \int_{-1}^1.$$

Перейдем к интегрированию в плоскости Ω . В результате преобразований, связанных, в частности, с выделением особенности подынтеграль-

ной функции p заменой $x = 1 - t^{-1}$ в J_1 , получим для J_1 и J_2 окончательные выражения, удобные для вычислений

$$\begin{aligned}
 p_y(x, 1) &= J_1 + J_2, \\
 (3.3) \quad J_1[t(x)] &= \xi(t) \left\{ \int_0^1 \frac{G(t, t_0) - G_0(t)}{t - t_0} dt - G_0(t) \ln \frac{1-t}{t} \right\}, \\
 G &= \frac{dp_0}{dx} \Big|_{x=x(t_0)} \frac{(t_0 - t) \operatorname{sh} [\pi x(t_0)/2\kappa]}{\xi^2(t_0) - \xi^2(t)}, \quad G_0 = \frac{dp_0}{dx} \Big|_{x=x(t)} \frac{\kappa}{\pi \xi(t)}, \\
 \xi(t) &= \operatorname{ch} [\pi x(t)/2\kappa], \quad x(t) = 1 - t^{-1}, \\
 J_2[\xi(x)] &= \frac{1}{2} \int_0^1 \left\{ \frac{Ap'_* + Bg}{|\xi_0 - \xi|} + \frac{(A_1 - A_2)p'_* + (B_2 - B_1)g}{|\xi_2 + \xi|} \right\} dy, \\
 A &= A_1 + A_2, \quad B = B_1 + B_2, \quad \eta_0 = -\operatorname{sh} \frac{\pi s}{2\kappa} \cos \frac{\pi}{2} y, \\
 A_1 &= -\xi_0 \operatorname{sh} \frac{\pi s}{2\kappa} \sin \frac{\pi}{2} y, \quad A_2 = \frac{1}{2} \operatorname{sh} \frac{\pi s}{\kappa}, \\
 B_1 &= -\xi_0 \operatorname{ch} \frac{\pi s}{2\kappa} \cos \frac{\pi}{2} y, \quad B_2 = \frac{1}{2} \sin \pi y, \\
 |\xi_0 \pm \xi| &= (\xi_0 \pm \xi)^2 + \eta_0^2, \quad \xi_0 = \operatorname{ch} \frac{\pi s}{2\kappa} \sin \frac{\pi}{2} y, \\
 \xi &= \operatorname{ch} \frac{\pi x}{2\kappa}, \quad g = \kappa^{-1} (s' p_* + s' p'_*).
 \end{aligned}$$

4. Метод численного решения основного уравнения задачи и результаты расчетов. Запишем функционал

$$H(s) = \int_{\tilde{x}_s}^{x_s} |I(x_2; s)| dx_2,$$

определенный на множестве функций S , дважды непрерывно дифференцируемых и удовлетворяющих на концах отрезка $[0, 1]$ условиям (2.9).

На функциях-решениях $H(s)$ достигает минимума, равного нулю (проведенные численные расчеты свидетельствуют в пользу единственности решения).

Будем искать минимум $H(s)$ методом подбора на подмножествах функций $S_n \subset S$, где S_n — множества кубических сплайн-функций [5], n — число разбиений отрезка $[0, 1]$. В качестве первого приближения возьмем $n = 2$ и ограничимся случаем $n = 3$ для численного решения задачи с приемлемой точностью. Для каждого приближения $s_n \in S_n$ значения I будем вычислять по формулам (3.1), а значения $p_y(x, 1)$ — по формулам (3.3), которые получены в предположении, что s — истинное решение. Предполагается сходимость вычисленной таким образом $p_y(x, 1)$ к точному решению при $s_n \rightarrow s$ (равномерно).

Фактически вычислительная процедура заключается в отыскании минимума функции $n - 1$ переменного, каковыми являются моменты $M_i = s_n''(y_i)$ в промежуточных узлах. Расчет на сетке M_2, M_3 ($n = 3$) с малым шагом показал, что поверхность $H(M_2, M_3)$ относится к «овражному» типу, причем направление «дна оврага» приблизительно совпадает с направлением прямой $M_2 + M_3 = \operatorname{const}$. Соответственно в программе

используется модифицированный метод поиска минимума функции «овражного» типа [6].

Обратим теперь внимание на математическую природу задачи и основного уравнения, к которому она сведена. Задачи с неизвестной границей относятся к классу обратных задач, обычные методы решения которых нередко приводят к неустойчивости. То же самое можно сказать и про уравнение (3.1), поскольку оно является абстрактным уравнением Фредгольма первого рода. Задачу можно свести к решению операторного уравнения второго рода, но численная реализация решения (3.1) вызывала меньше сомнений. В отличие от [7], где аналогичный метод привел к практически устойчивому вычислительному алгоритму, условия в приведенной краевой задаче здесь не являются однотипными. Вычисления показали, что в некоторых вариантах значения функционала выходят на побочный минимум, а решение не удовлетворяет условию непрерывности $p_y(x, 1)$ в точке $x = 0$: вариация δs_3 вызывает вариацию δp_y по формулам (3.2), которая компенсирует влияние δs_3 на интеграл I . С целью регуляризации к функционалу добавляется слагаемое, представляющее собой невязку в выполнении краевого условия для $p_y(x, 1)$ [8]. Отметим, что с этой же целью уравнение $I = 0$ записано через Φ (как и в [7]), а не через аналитическую функцию $p - iv/\kappa$ (это было бы несколько проще). Можно ожидать, что функционал H в данном варианте более чувствителен к $s(y)$.

Погрешность решения оценивалась величиной $\delta = (H_m/H_1) \cdot 100\%$,

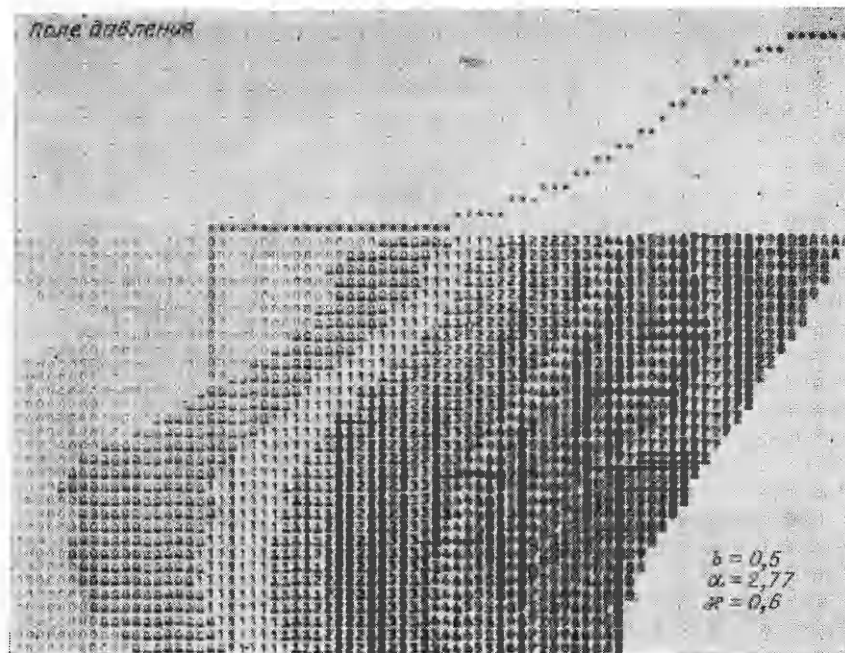
где H_m — достигнутое значение минимума H , $H_1 = \int_{x_3}^{x_4} |I| dx_2$, а $[X_3, X_4]$ —

отрезок оси x , симметричный отрезку $[X_3, X_4]$ относительно точки A , на котором $I = \Phi = \partial p / \partial x_1$. Она образовалась вот из каких соображений. Поскольку решение в области определяется при помощи интеграла Коши, уравнениям внутри области оно удовлетворяет точно. Из формулы Сохоцкого для предельных значений интеграла типа Коши $\Phi - \Phi^- = \Phi_L$, где Φ^- — предельное значение интеграла типа Коши вне области Ω_1 , следует, что величина $\delta_0 = |\Phi^- / \Phi_L| \cdot 100\%$ характеризует невязку в выполнении краевых условий, так как в точном решении $\Phi^- = 0$. Точку A можно взять, как наиболее представительную, поскольку решение в окрестности ножки фронта сильно меняется. При практических расчетах для оценки удобнее взять величину δ , характеризующую отношение не предельных, а средних значений $|\Phi|$ справа и слева от ножки фронта. Интуитивно ясно, что значения δ должны быть близки к δ_0 .

О достигнутой точности свидетельствуют также: а) выход ветви функции $p_y(x, 1)$ на краевое значение при $x = 0$; б) выход значений p на асимптотику $p \rightarrow p_1$ при $x \rightarrow -\infty$ в результате интегрирования поля $\partial p / \partial x$ от фронта в глубь области. Расчеты показали, что точность «а», «б» соответствует оценке δ . Достигнутые значения δ составляют $\approx 0,5\%$, а выход на асимптотику «б» осуществляется с относительной точностью, не превышающей $2,5\%$.

Для интерполяции $s(y)$ во втором приближении использовалась сплайн-функция $s_3(y)$ на неравномерной сетке. Для большинства вариантов длины интервалов подбирались с целью улучшить оценку δ от нескольких процентов до $\approx 0,5\%$. В процессе отладки программы были подобраны оптимальные значения внутренних параметров задачи (числа точек, шаги итераций и т. д.).

На фиг. 4 приведен пример численного расчета поля давлений (составляющей вектора массовой скорости u), нормированного на p_{00} в физической плоскости и в символической форме записи. Число разбиений по



Ф и г. 4

толщине слоя равно 30. Переход к следующему символу означает изменение p/p_{00} на 0,05. Цифрами 0, 0, 1, 1, 2, 2, . . . отмечены зоны пониженных, а буквами А, А, Б, Б, В, В, . . . — повышенных давлений, так что символ А соответствует $p/p_{00} = 1 + \varepsilon_0$, А — $1,05 \pm \varepsilon_0$, В — $1,1 \pm \varepsilon_0$, . . . , 9 — $0,95 + \varepsilon_0$, 9 — $0,9 + \varepsilon_0$, . . . 0 = $\pm \varepsilon_0$ ($\varepsilon_0 = 0,025$).

Звездочками изображен график нагрузки. Первая строка символов сверху также относится к нагрузке. Давление на поверхности задавалось в виде

$$p_0(x) = p_{00} \exp [(-1)^{j+1} \alpha x^j] \quad (j = 1, 2).$$

Таким образом, варьировались четыре внешних параметра задачи: α , j -характеристики длины и формы импульса, $b = s'(1) = (U_0^2/D_0^2 - 1)^{1/2} = \operatorname{tg} \beta$ — его интенсивности или угла наклона фронта в точке В (см. фиг. 1) и $\kappa = (1 - U_0^2/c^2)^{1/2}$. При выборе b и κ учитывались следующие обстоятельства. Во-первых, p_{\max} — максимальное давление, достигаемое в точке А, не должно быть велико (иначе могут нарушиться принятые допущения). Можно вычислить

$$p_{\max}/p_{00} = (b^2 + \kappa^2)/\kappa^2,$$

и полагалось $p_{\max}/p_{00} < 5$. Во-вторых, знаменатель в выражении для $s''(1)$ в (2.9) при $\kappa^2 = 3b^2$ обращается в нуль, а при $\kappa^2 > 3b^2$ знак $s''(1)$ оказывается неестественным: спадающей нагрузке отвечает рост интенсивности ударной волны по направлению в глубь области. В [8] для выяснения этой ситуации проведено исследование на примере задачи о малых стационарных возмущениях косої ударной волны, распространяющейся в полупространстве. Установлено, что при $\kappa^2 \geq 3b^2$ решение имеет

интегрируемую особенность в точке B (косвенное указание на неустойчивость решения). При $\kappa^2 < 3b^2$ оно всюду непрерывно в $\Omega \cup L$. Физически условие $\kappa^2 < 3b^2$ означает, что изобары подходят сверху, $\kappa^2 = 3b^2$ — горизонтально, $\kappa^2 > 3b^2$ — снизу к фронту косо ударной волны. При условии $D_0 < U_0 < c$ существуют области (не нулевой меры) параметров, удовлетворяющих неравенству того и другого смысла. Видно, что неравенству $\kappa^2 \geq 3b^2$ соответствуют малые углы β ($0 \leq \operatorname{tg} \beta \leq \kappa/\sqrt{3}$).

Расчеты проводились для значений $b = 1,0; 0,5; 0,25$ и $\kappa = 0,9; 0,6$ ($b = 1$), $\kappa = 0,6; 0,3$ ($b = 0,5$), $\kappa = 0,3$ ($b = 0,25$). При этом $\kappa = 0,9$ соответствует $U_0 \approx 0,45c$, $\kappa = 0,6 - U_0 \approx 0,8c$, $\kappa = 0,3 - U_0 \approx 0,954c$.

Примем за характерную длину импульса величину $l = -x_0$ (x_0 — координата, где интенсивность нагрузки падает вдвое). В расчетах принималось $l = \infty, 1,5; 1,0; 0,5; 0,25$ ($j = 2$); $l = 1,0; 0,5; 0,25$ ($j = 1$) (соответственно $\alpha = 0; 0,31; 0,7; 2,77; 11,4$ ($j = 2$); $\alpha = 0,7; 1,39; 2,77$ ($j = 1$)).

Изобары концентрируются около точки A и для длинных импульсов нагрузки («ступеньки», в частности) имеют форму вытянутых кверху дуг овалов. С уменьшением параметра κ картина как бы сжимается вдоль оси x , хотя изменение положения фронта относительно мало. Наклоны изобар, подходящих к фронту, находятся в полном согласии с результатами линейной теории [8].

В частицах после прохождения ударной волны и порою на значительном по толщине участке фронта происходит догружение и может составлять десятки процентов от давления на фронте. Априори была мысль о разгрузке за фронтом.

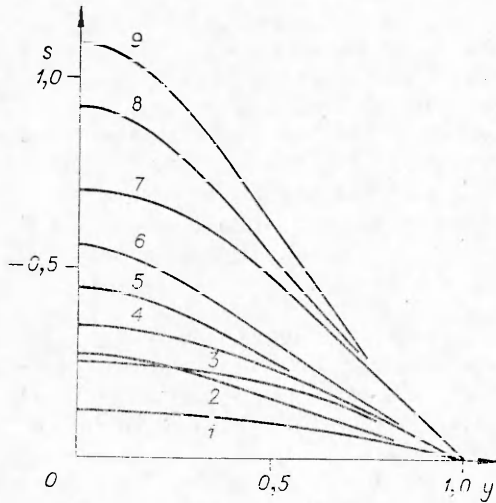
При $l \sim 1$ картина изобар усложняется влиянием разгрузки на внешней поверхности. На фронте появляется область пониженного давления. Кривизна фронта при наличии затухания меняет знак.

Будем характеризовать затухание величиной $e = 1 - p_{\min}/p_{00}$

$$(p_{\min} = \min_{0 \leq y < 1} p_*(y)).$$

С уменьшением угла β эффект затухания существенно снижается. Одна и та же величина e при переходе от $b = 0,5$ к $b = 0,25$ ($\kappa = 0,3$) достигается уменьшением длины импульса примерно вдвое. Это можно объяснить тем, что при $\beta \rightarrow 0$ фронт и изобары становятся почти вертикальными, а волна — плоской.

Номер фигуры	Номер кривой	b	κ	l	j	e	$s(0)$
5	1	0,25	0,30	∞			0,13
	2	0,25	0,30	0,25	2	0,25	0,27
	3	0,50	0,60	∞			0,26
	4	0,50	0,30	∞			0,36
	5	0,50	0,60	0,50	2	0,28	0,56
	6	0,50	0,30	0,50	2	0,10	0,45
	7	1,00	0,60	∞			0,70
	8	1,00	0,60	1,00	1	0,22	0,93
	9	1,00	0,90	1,00	1	0,39	1,10
6	1	0,50	0,60	∞			0,26
	2	0,25	0,30	∞			0,13
	3	0,50	0,60	0,50	1	0,53	0,53
	4	0,25	0,30	0,50	1	0,20	0,20
	5	0,25	0,30	0,25	1	0,29	0,29



Ф и г. 5

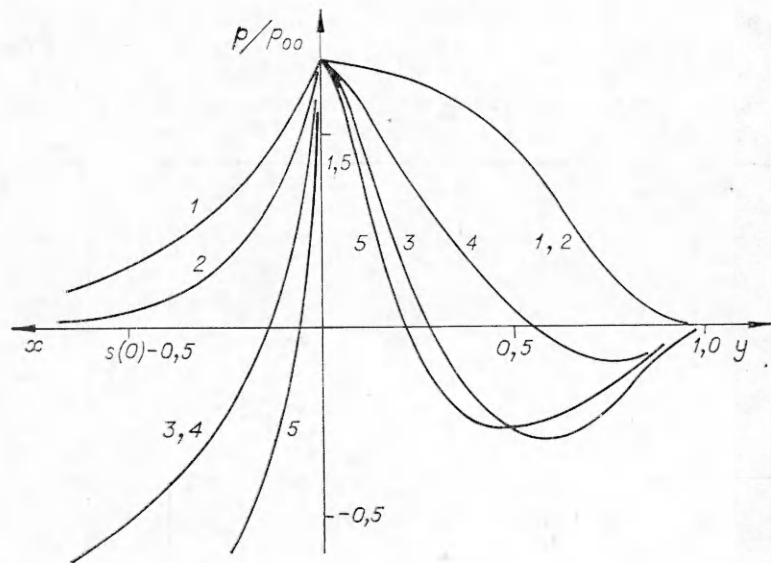
Форма импульса меньше влияет на решение, чем его длина. Уменьшение l вдвое приводит к удвоению величины e . Сравнивая результаты для различных форм импульса ($j = 1, 2$) в двух случаях: $b = 0,5$, $\kappa = 0,6$, $l = 0,5$ и $b = 0,25$, $\kappa = 0,3$, $l = 0,25$, получим приблизительно одинаковую величину затухания (около 0,27). При других значениях b , κ влияние формы заметнее: $e \approx 0,39$ ($b = 1$, $j = 1$, $\kappa = 0,9$), $e \approx 0,18$ ($b = 1$, $j = 2$, $\kappa = 0,9$).

С ростом скорости звука (увеличением κ) величина e растет существенно. Сравнивая решения при $b = 1$, $l = 1$, $j = 1$ и разных κ , получим $e \approx 0,39$ ($\kappa = 0,9$), $e \approx 0,22$ ($\kappa = 0,6$). При $b = 0,5$

и разных κ наблюдается такое же соответствие.

На фиг. 5, 6 показаны линии фронтов и распределения давлений вдоль фронта и жесткой стенки. Соответствие параметров номерам фигур дано в таблице, где также приведены значения e и $s(0)$.

Кривые 1, 2 (фиг. 6) для $p_*(y)/p_{00}$ совпадают, что свидетельствует, во-первых, о частичном подобии (в тех же случаях кривые $p(x, 0)/p_{00}$ расходятся) в случае ступенчатой нагрузки и одинаковых значениях $p_{\max}/p_{00} = (b^2 + \kappa^2)/\kappa^2$; во-вторых, косвенно о достигнутой точности: оценка относительной разности $p_*(y)$ (относительно p_{\max}) в равномерной метрике не превышает 2%. Если импульс не «ступенька», то подобия не наблюдается (сравним кривые 3, 4 на фиг. 6).



Ф и г. 6

При коротких импульсах нагрузки ($l = 0,25$) в окрестности точки A формируется короткая волна: очень большие градиенты ($\partial p/\partial x \sim 10^2$) при максимальных значениях самих функций. Проанализируем влияние отброшенных членов в системе (2.1). Непосредственные вычисления по данным из расчетов показывают, что слагаемые $\theta_0 v u_y$ и $\theta_0 v v_y$ вплоть до $\theta_0 \approx 0,3$ остаются на порядок меньше $|\nabla p|$. Кроме того, коэффициенты $(1 - \theta_0 u)/(1 - \theta) \approx 1 - (1 - p_{00})\theta_0$ в первых двух и $(1 - u\theta_0)$ в третьем уравнениях (2.1) заменены на единицу. Наибольшую погрешность может внести последнее. Однако значения функций в точке A здесь вычисляются точно, а окрестность, где $u = p$ может существенно превышать единицу, мала, поэтому следует ожидать, что учет конвективных членов при $\theta < 0,2$ окажет малое влияние на решение в целом в отличие от [9], где ситуация принципиально другая.

Поступила 13 VI 1978

ЛИТЕРАТУРА

1. Херман В. Определяющее уравнение для динамического сжатия пластических пористых материалов.— Сб. пер. Механика, 1970, № 5.
2. Лаврентьев М. А., Шабат Б. В. Методы теории функций комплексного переменного. М., Физматгиз, 1958.
3. Купрадзе В. Д. О приближенном решении задач математической физики.— УМН, 1967, т. 22, № 2.
4. Верюжский Ю. В., Вусатюк А. И., Савицкий В. В. Численная реализация метода академика В. Д. Купрадзе при решении некоторых статических задач теории упругости.— Сопротивление материалов и теория сооружений. Респ. межвед. науч.-техн. сб. Киев, «Будівельник», 1975, вып. 25.
5. Стечкин С. Б., Субботин Ю. Н. Сплайны в вычислительной математике. М., «Наука», 1976.
6. Первозванский А. А. Поиск. М., «Наука», 1970.
7. Симонов И. В. Дифракция плоской ударной волны на углах в идеальной уплотняющейся среде.— «Изв. АН СССР. МТТ», 1978, № 1.
8. Симонов И. В. Численно-аналитическое исследование задачи о нагрузке, бегущей по слою идеально уплотняющегося материала. Препринт Ин-та проблем механики АН СССР, 1978, № 115.
9. Гриб А. А., Рыжов О. С., Христианович С. А. Теория коротких волн.— ПМТФ, 1960, № 1.

УДК 539.3+539.4

О ДИНАМИКЕ РАЗРУШЕНИЯ ОДНОНАПРАВЛЕННОГО СТЕКЛОПЛАСТИКА

М. В. Степаненко

(Новосибирск)

Рассмотрена динамическая задача о концентрации напряжений и последующем распространении трещины отслаивания в однонаправленном стеклопластике. Исследуется плоская деформация, материал стеклопластика соответствует модели [1], т. е. предполагается, что армирующие волокна находятся в одноосном напряженном состоянии (растяжение — сжатие), а наполнитель (связующее) испытывает только напряжения сдвига.